

# **Resultados das Pesquisas e Inovações na Área das Engenharias 2**



Henrique Ajuz Holzmann  
João Dallamuta  
(Organizadores)

# **Resultados das Pesquisas e Inovações na Área das Engenharias 2**



Henrique Ajuz Holzmann

João Dallamuta

(Organizadores)

<b>Editora Chefe</b>	Profª Drª Antonella Carvalho de Oliveira
<b>Assistentes Editoriais</b>	
Natalia Oliveira	
Bruno Oliveira	
Flávia Roberta Barão	
<b>Bibliotecário</b>	
Maurício Amormino Júnior	
<b>Projeto Gráfico e Diagramação</b>	
Natália Sandrini de Azevedo	
Camila Alves de Cremo	
Karine de Lima Wisniewski	
Luiza Alves Batista	
Maria Alice Pinheiro	
<b>Imagens da Capa</b>	
Shutterstock	
<b>Edição de Arte</b>	
Luiza Alves Batista	
<b>Revisão</b>	
Os Autores	
2020 by Atena Editora	
Copyright © Atena Editora	
Copyright do Texto © 2020 Os autores	
Copyright da Edição © 2020 Atena Editora	
Direitos para esta edição cedidos à Atena	
Editora pelos autores.	



Todo o conteúdo deste livro está licenciado sob uma Licença de Atribuição Creative Commons. Atribuição-Não-Comercial-NãoDerivativos 4.0 Internacional (CC BY-NC-ND 4.0).

O conteúdo dos artigos e seus dados em sua forma, correção e confiabilidade são de responsabilidade exclusiva dos autores, inclusive não representam necessariamente a posição oficial da Atena Editora. Permitido o download da obra e o compartilhamento desde que sejam atribuídos créditos aos autores, mas sem a possibilidade de alterá-la de nenhuma forma ou utilizá-la para fins comerciais.

A Atena Editora não se responsabiliza por eventuais mudanças ocorridas nos endereços convencionais ou eletrônicos citados nesta obra.

Todos os manuscritos foram previamente submetidos à avaliação cega pelos pares, membros do Conselho Editorial desta Editora, tendo sido aprovados para a publicação.

#### **Conselho Editorial**

#### **Ciências Humanas e Sociais Aplicadas**

Prof. Dr. Álvaro Augusto de Borba Barreto – Universidade Federal de Pelotas

Prof. Dr. Alexandre Jose Schumacher – Instituto Federal de Educação, Ciência e Tecnologia do Paraná

Prof. Dr. Américo Junior Nunes da Silva – Universidade do Estado da Bahia

Prof. Dr. Antonio Carlos Frasson – Universidade Tecnológica Federal do Paraná

Prof. Dr. Antonio Gasparetto Júnior – Instituto Federal do Sudeste de Minas Gerais

Prof. Dr. Antonio Isidro-Filho – Universidade de Brasília

Prof. Dr. Carlos Antonio de Souza Moraes – Universidade Federal Fluminense  
Profª Drª Cristina Gaio – Universidade de Lisboa  
Prof. Dr. Daniel Richard Sant'Ana – Universidade de Brasília  
Prof. Dr. Deyvison de Lima Oliveira – Universidade Federal de Rondônia  
Profª Drª Dilma Antunes Silva – Universidade Federal de São Paulo  
Prof. Dr. Edvaldo Antunes de Farias – Universidade Estácio de Sá  
Prof. Dr. Elson Ferreira Costa – Universidade do Estado do Pará  
Prof. Dr. Eloi Martins Senhora – Universidade Federal de Roraima  
Prof. Dr. Gustavo Henrique Cepolini Ferreira – Universidade Estadual de Montes Claros  
Profª Drª Ivone Goulart Lopes – Istituto Internazionale delle Figlie di Maria Ausiliatrice  
Prof. Dr. Jadson Correia de Oliveira – Universidade Católica do Salvador  
Prof. Dr. Julio Candido de Meirelles Junior – Universidade Federal Fluminense  
Profª Drª Lina Maria Gonçalves – Universidade Federal do Tocantins  
Prof. Dr. Luis Ricardo Fernandes da Costa – Universidade Estadual de Montes Claros  
Profª Drª Natiéli Piovesan – Instituto Federal do Rio Grande do Norte  
Prof. Dr. Marcelo Pereira da Silva – Pontifícia Universidade Católica de Campinas  
Profª Drª Maria Luzia da Silva Santana – Universidade Federal de Mato Grosso do Sul  
Profª Drª Paola Andressa Scortegagna – Universidade Estadual de Ponta Grossa  
Profª Drª Rita de Cássia da Silva Oliveira – Universidade Estadual de Ponta Grossa  
Prof. Dr. Rui Maia Diamantino – Universidade Salvador  
Prof. Dr. Urandi João Rodrigues Junior – Universidade Federal do Oeste do Pará  
Profª Drª Vanessa Bordin Viera – Universidade Federal de Campina Grande  
Prof. Dr. William Cleber Domingues Silva – Universidade Federal Rural do Rio de Janeiro  
Prof. Dr. Willian Douglas Guilherme – Universidade Federal do Tocantins

#### **Ciências Agrárias e Multidisciplinar**

Prof. Dr. Alexandre Igor Azevedo Pereira – Instituto Federal Goiano  
Profª Drª Carla Cristina Bauermann Brasil – Universidade Federal de Santa Maria  
Prof. Dr. Antonio Pasqualetto – Pontifícia Universidade Católica de Goiás  
Prof. Dr. Cleberton Correia Santos – Universidade Federal da Grande Dourados  
Profª Drª Daiane Garabeli Trojan – Universidade Norte do Paraná  
Profª Drª Diocléa Almeida Seabra Silva – Universidade Federal Rural da Amazônia  
Prof. Dr. Écio Souza Diniz – Universidade Federal de Viçosa  
Prof. Dr. Fábio Steiner – Universidade Estadual de Mato Grosso do Sul  
Prof. Dr. Fágner Cavalcante Patrocínio dos Santos – Universidade Federal do Ceará  
Profª Drª Gislene Santos de Souza – Universidade Federal do Recôncavo da Bahia  
Prof. Dr. Jael Soares Batista – Universidade Federal Rural do Semi-Árido  
Prof. Dr. Júlio César Ribeiro – Universidade Federal Rural do Rio de Janeiro  
Profª Drª Lina Raquel Santos Araújo – Universidade Estadual do Ceará  
Prof. Dr. Pedro Manuel Villa – Universidade Federal de Viçosa  
Profª Drª Raissa Rachel Salustriano da Silva Matos – Universidade Federal do Maranhão  
Prof. Dr. Ronilson Freitas de Souza – Universidade do Estado do Pará  
Profª Drª Talita de Santos Matos – Universidade Federal Rural do Rio de Janeiro  
Prof. Dr. Tiago da Silva Teófilo – Universidade Federal Rural do Semi-Árido  
Prof. Dr. Valdemar Antonio Paffaro Junior – Universidade Federal de Alfenas

#### **Ciências Biológicas e da Saúde**

Prof. Dr. André Ribeiro da Silva – Universidade de Brasília  
Profª Drª Anelise Levay Murari – Universidade Federal de Pelotas  
Prof. Dr. Benedito Rodrigues da Silva Neto – Universidade Federal de Goiás  
Profª Drª Débora Luana Ribeiro Pessoa – Universidade Federal do Maranhão  
Prof. Dr. Douglas Siqueira de Almeida Chaves -Universidade Federal Rural do Rio de Janeiro  
Prof. Dr. Edson da Silva – Universidade Federal dos Vales do Jequitinhonha e Mucuri  
Profª Drª Eleuza Rodrigues Machado – Faculdade Anhanguera de Brasília  
Profª Drª Elane Schwinden Prudêncio – Universidade Federal de Santa Catarina  
Profª Drª Eysler Gonçalves Maia Brasil – Universidade da Integração Internacional da Lusofonia Afro-Brasileira  
Prof. Dr. Ferlando Lima Santos – Universidade Federal do Recôncavo da Bahia  
Profª Drª Gabriela Vieira do Amaral – Universidade de Vassouras  
Prof. Dr. Gianfábio Pimentel Franco – Universidade Federal de Santa Maria  
Prof. Dr. Helio Franklin Rodrigues de Almeida – Universidade Federal de Rondônia  
Profª Drª Iara Lúcia Tescarollo – Universidade São Francisco  
Prof. Dr. Igor Luiz Vieira de Lima Santos – Universidade Federal de Campina Grande  
Prof. Dr. Jefferson Thiago Souza – Universidade Estadual do Ceará  
Prof. Dr. Jesus Rodrigues Lemos – Universidade Federal do Piauí  
Prof. Dr. Jônatas de França Barros – Universidade Federal do Rio Grande do Norte  
Prof. Dr. José Max Barbosa de Oliveira Junior – Universidade Federal do Oeste do Pará  
Prof. Dr. Luís Paulo Souza e Souza – Universidade Federal do Amazonas  
Profª Drª Magnólia de Araújo Campos – Universidade Federal de Campina Grande  
Prof. Dr. Marcus Fernando da Silva Praxedes – Universidade Federal do Recôncavo da Bahia  
Profª Drª Maria Tatiane Gonçalves Sá – Universidade do Estado do Pará  
Profª Drª Mylena Andréa Oliveira Torres – Universidade Ceuma  
Profª Drª Natiéli Piovesan – Instituto Federal do Rio Grande do Norte  
Prof. Dr. Paulo Inada – Universidade Estadual de Maringá  
Prof. Dr. Rafael Henrique Silva – Hospital Universitário da Universidade Federal da Grande Dourados  
Profª Drª Regiane Luz Carvalho – Centro Universitário das Faculdades Associadas de Ensino  
Profª Drª Renata Mendes de Freitas – Universidade Federal de Juiz de Fora  
Profª Drª Vanessa Lima Gonçalves – Universidade Estadual de Ponta Grossa  
Profª Drª Vanessa Bordin Viera – Universidade Federal de Campina Grande

### **Ciências Exatas e da Terra e Engenharias**

Prof. Dr. Adélio Alcino Sampaio Castro Machado – Universidade do Porto  
Prof. Dr. Alexandre Leite dos Santos Silva – Universidade Federal do Piauí  
Prof. Dr. Carlos Eduardo Sanches de Andrade – Universidade Federal de Goiás  
Profª Drª Carmen Lúcia Voigt – Universidade Norte do Paraná  
Prof. Dr. Douglas Gonçalves da Silva – Universidade Estadual do Sudoeste da Bahia  
Prof. Dr. Elio Rufato Junior – Universidade Tecnológica Federal do Paraná  
Profª Drª Érica de Melo Azevedo – Instituto Federal do Rio de Janeiro  
Prof. Dr. Fabrício Menezes Ramos – Instituto Federal do Pará  
Profª Dra. Jéssica Verger Nardeli – Universidade Estadual Paulista Júlio de Mesquita Filho  
Prof. Dr. Juliano Carlo Rufino de Freitas – Universidade Federal de Campina Grande  
Profª Drª Luciana do Nascimento Mendes – Instituto Federal de Educação, Ciência e Tecnologia do Rio Grande do Norte

Prof. Dr. Marcelo Marques – Universidade Estadual de Maringá  
Profª Drª Neiva Maria de Almeida – Universidade Federal da Paraíba  
Profª Drª Natiéli Piovesan – Instituto Federal do Rio Grande do Norte  
Profª Drª Priscila Tessmer Scaglioni – Universidade Federal de Pelotas  
Prof. Dr. Takeshy Tachizawa – Faculdade de Campo Limpo Paulista

### **Linguística, Letras e Artes**

Profª Drª Adriana Demite Stephani – Universidade Federal do Tocantins  
Profª Drª Angeli Rose do Nascimento – Universidade Federal do Estado do Rio de Janeiro  
Profª Drª Carolina Fernandes da Silva Mandaji – Universidade Tecnológica Federal do Paraná  
Profª Drª Denise Rocha – Universidade Federal do Ceará  
Prof. Dr. Fabiano Tadeu Grazioli – Universidade Regional Integrada do Alto Uruguai e das Missões  
Prof. Dr. Gilmei Fleck – Universidade Estadual do Oeste do Paraná  
Profª Drª Keyla Christina Almeida Portela – Instituto Federal de Educação, Ciência e Tecnologia do Paraná  
Profª Drª Miranilde Oliveira Neves – Instituto de Educação, Ciência e Tecnologia do Pará  
Profª Drª Sandra Regina Gardacho Pietrobon – Universidade Estadual do Centro-Oeste  
Profª Drª Sheila Marta Carregosa Rocha – Universidade do Estado da Bahia

### **Conselho Técnico Científico**

Prof. Me. Abrão Carvalho Nogueira – Universidade Federal do Espírito Santo  
Prof. Me. Adalberto Zorzo – Centro Estadual de Educação Tecnológica Paula Souza  
Prof. Me. Adalto Moreira Braz – Universidade Federal de Goiás  
Prof. Dr. Adaylson Wagner Sousa de Vasconcelos – Ordem dos Advogados do Brasil/Seccional Paraíba  
Prof. Dr. Adilson Tadeu Basquerote Silva – Universidade para o Desenvolvimento do Alto Vale do Itajaí  
Prof. Me. Alexsandro Teixeira Ribeiro – Centro Universitário Internacional  
Prof. Me. André Flávio Gonçalves Silva – Universidade Federal do Maranhão  
Profª Ma. Andréa Cristina Marques de Araújo – Universidade Fernando Pessoa  
Profª Drª Andreza Lopes – Instituto de Pesquisa e Desenvolvimento Acadêmico  
Profª Drª Andrezza Miguel da Silva – Faculdade da Amazônia  
Profª Ma. Anelisa Mota Gregoleti – Universidade Estadual de Maringá  
Profª Ma. Anne Karynne da Silva Barbosa – Universidade Federal do Maranhão  
Prof. Dr. Antonio Hot Pereira de Faria – Polícia Militar de Minas Gerais  
Prof. Me. Armando Dias Duarte – Universidade Federal de Pernambuco  
Profª Ma. Bianca Camargo Martins – UniCesumar  
Profª Ma. Carolina Shimomura Nanya – Universidade Federal de São Carlos  
Prof. Me. Carlos Antônio dos Santos – Universidade Federal Rural do Rio de Janeiro  
Prof. Ma. Cláudia de Araújo Marques – Faculdade de Música do Espírito Santo  
Profª Drª Cláudia Taís Siqueira Cagliari – Centro Universitário Dinâmica das Cataratas  
Prof. Me. Clécio Danilo Dias da Silva – Universidade Federal do Rio Grande do Norte  
Prof. Me. Daniel da Silva Miranda – Universidade Federal do Pará  
Profª Ma. Daniela da Silva Rodrigues – Universidade de Brasília  
Profª Ma. Daniela Remião de Macedo – Universidade de Lisboa  
Profª Ma. Dayane de Melo Barros – Universidade Federal de Pernambuco

Prof. Me. Douglas Santos Mezacas – Universidade Estadual de Goiás  
Prof. Me. Edevaldo de Castro Monteiro – Embrapa Agrobiologia  
Prof. Me. Eduardo Gomes de Oliveira – Faculdades Unificadas Doctum de Cataguases  
Prof. Me. Eduardo Henrique Ferreira – Faculdade Pitágoras de Londrina  
Prof. Dr. Edwaldo Costa – Marinha do Brasil  
Prof. Me. Eliel Constantino da Silva – Universidade Estadual Paulista Júlio de Mesquita  
Prof. Me. Ernane Rosa Martins – Instituto Federal de Educação, Ciência e Tecnologia de Goiás  
Prof. Me. Euvaldo de Sousa Costa Junior – Prefeitura Municipal de São João do Piauí  
Prof<sup>a</sup> Ma. Fabiana Coelho Couto Rocha Corrêa – Centro Universitário Estácio Juiz de Fora  
Prof. Dr. Fabiano Lemos Pereira – Prefeitura Municipal de Macaé  
Prof. Me. Felipe da Costa Negrão – Universidade Federal do Amazonas  
Prof<sup>a</sup> Dr<sup>a</sup> Germana Ponce de Leon Ramírez – Centro Universitário Adventista de São Paulo  
Prof. Me. Gevair Campos – Instituto Mineiro de Agropecuária  
Prof. Me. Givanildo de Oliveira Santos – Secretaria da Educação de Goiás  
Prof. Dr. Guilherme Renato Gomes – Universidade Norte do Paraná  
Prof. Me. Gustavo Krahl – Universidade do Oeste de Santa Catarina  
Prof. Me. Helton Rangel Coutinho Junior – Tribunal de Justiça do Estado do Rio de Janeiro  
Prof<sup>a</sup> Ma. Isabelle Cerqueira Sousa – Universidade de Fortaleza  
Prof<sup>a</sup> Ma. Jaqueline Oliveira Rezende – Universidade Federal de Uberlândia  
Prof. Me. Javier Antonio Albornoz – University of Miami and Miami Dade College  
Prof. Me. Jhonatan da Silva Lima – Universidade Federal do Pará  
Prof. Dr. José Carlos da Silva Mendes – Instituto de Psicologia Cognitiva, Desenvolvimento Humano e Social  
Prof. Me. Jose Elyton Batista dos Santos – Universidade Federal de Sergipe  
Prof. Me. José Luiz Leonardo de Araujo Pimenta – Instituto Nacional de Investigación Agropecuaria Uruguay  
Prof. Me. José Messias Ribeiro Júnior – Instituto Federal de Educação Tecnológica de Pernambuco  
Prof<sup>a</sup> Dr<sup>a</sup> Juliana Santana de Curcio – Universidade Federal de Goiás  
Prof<sup>a</sup> Ma. Juliana Thaisa Rodrigues Pacheco – Universidade Estadual de Ponta Grossa  
Prof<sup>a</sup> Dr<sup>a</sup> Kamilly Souza do Vale – Núcleo de Pesquisas Fenomenológicas/UFPA  
Prof. Dr. Kárpio Márcio de Siqueira – Universidade do Estado da Bahia  
Prof<sup>a</sup> Dr<sup>a</sup> Karina de Araújo Dias – Prefeitura Municipal de Florianópolis  
Prof. Dr. Lázaro Castro Silva Nascimento – Laboratório de Fenomenologia & Subjetividade/UFPR  
Prof. Me. Leonardo Tullio – Universidade Estadual de Ponta Grossa  
Prof<sup>a</sup> Ma. Lilian Coelho de Freitas – Instituto Federal do Pará  
Prof<sup>a</sup> Ma. Liliani Aparecida Sereno Fontes de Medeiros – Consórcio CEDERJ  
Prof<sup>a</sup> Dr<sup>a</sup> Lívia do Carmo Silva – Universidade Federal de Goiás  
Prof. Dr. Lucio Marques Vieira Souza – Secretaria de Estado da Educação, do Esporte e da Cultura de Sergipe  
Prof. Me. Luis Henrique Almeida Castro – Universidade Federal da Grande Dourados  
Prof. Dr. Luan Vinicius Bernardelli – Universidade Estadual do Paraná  
Prof. Dr. Michel da Costa – Universidade Metropolitana de Santos  
Prof. Dr. Marcelo Máximo Purificação – Fundação Integrada Municipal de Ensino Superior

Prof. Me. Marcos Aurelio Alves e Silva – Instituto Federal de Educação, Ciência e Tecnologia de São Paulo  
Prof<sup>a</sup> Ma. Maria Elanny Damasceno Silva – Universidade Federal do Ceará  
Prof<sup>a</sup> Ma. Marileila Marques Toledo – Universidade Federal dos Vales do Jequitinhonha e Mucuri  
Prof. Me. Ricardo Sérgio da Silva – Universidade Federal de Pernambuco  
Prof<sup>a</sup> Ma. Renata Luciane Polsaque Young Blood – UniSecal  
Prof. Me. Robson Lucas Soares da Silva – Universidade Federal da Paraíba  
Prof. Me. Sebastião André Barbosa Junior – Universidade Federal Rural de Pernambuco  
Prof<sup>a</sup> Ma. Silene Ribeiro Miranda Barbosa – Consultoria Brasileira de Ensino, Pesquisa e Extensão  
Prof<sup>a</sup> Ma. Solange Aparecida de Souza Monteiro – Instituto Federal de São Paulo  
Prof. Me. Tallys Newton Fernandes de Matos – Faculdade Regional Jaguariúna  
Prof<sup>a</sup> Ma. Thatianny Jasmine Castro Martins de Carvalho – Universidade Federal do Piauí  
Prof. Me. Tiago Silvio Dedoné – Colégio ECEL Positivo  
Prof. Dr. Welleson Feitosa Gazel – Universidade Paulista

**Editora Chefe:** Profª Drª Antonella Carvalho de Oliveira  
**Bibliotecário:** Maurício Amormino Júnior  
**Diagramação:** Camila Alves de Cremo  
**Correção:** Vanessa Mottin de Oliveira Batista  
**Edição de Arte:** Luiza Alves Batista  
**Revisão:** Os Autores  
**Organizadores:** Henrique Ajuz Holzmann  
João Dallamuta

**Dados Internacionais de Catalogação na Publicação (CIP)  
(eDOC BRASIL, Belo Horizonte/MG)**

R436 Resultados das pesquisas e inovações na área das engenharias 2 [recurso eletrônico] / Organizadores Henrique Ajuz Holzmann, João Dallamuta. – Ponta Grossa, PR: Atena, 2020.

Formato: PDF  
Requisitos de sistema: Adobe Acrobat Reader  
Modo de acesso: World Wide Web  
Inclui bibliografia  
ISBN 978-65-5706-456-6  
DOI 10.22533/at.ed.566200510

1. Engenharia – Pesquisa – Brasil. 2. Inovações tecnológicas. 3. Tecnologia. I. Holzmann, Henrique Ajuz. II. Dallamuta, João.

CDD 624

Elaborado por Maurício Amormino Júnior | CRB6/2422

**Atena Editora**

Ponta Grossa – Paraná – Brasil

Telefone: +55 (42) 3323-5493

[www.atenaeditora.com.br](http://www.atenaeditora.com.br)

contato@atenaeditora.com.br

## **APRESENTAÇÃO**

A engenharia de materiais e os conceitos ambientais, vem cada vez mais ganhando espaço nos estudos das grandes empresas e de pesquisadores. Esse aumento no interesse se dá principalmente pela escassez de matérias primas, a necessidade de novos materiais que possuam melhores características físicas e químicas e a necessidade de reaproveitamento dos resíduos em geral. Assim em um cenário cada vez mais competitivo, desenvolver novas maneiras de melhoria nos processos industriais, bem como para o próprio dia a dia da população é uma das buscas constantes das áreas de engenharia.

Nesse livro conceitos voltados a engenharia do meio ambiente, apresentando processos de recuperação e aproveitamento de resíduos e uma melhor aplicação dos recursos disponíveis no ambiente, além do panorama sobre novos métodos de obtenção limpa da energia.

Ainda traz assuntos voltados ao desenvolvimento de materiais, buscando melhorias no processo e no produto final, sendo uma busca constante a redução e reutilização dos resíduos.

De abordagem objetiva, a obra se mostra de grande relevância para graduandos, alunos de pós-graduação, docentes e profissionais, apresentando temáticas e metodologias diversificadas, em situações reais.

Aos autores, agradecemos pela con iança e espirito de parceria.

Boa leitura!

Henrique Ajuz Holzmann

João Dallamuta

## SUMÁRIO

<b>CAPÍTULO 1.....</b>	<b>1</b>
RESÍDUOS SÓLIDOS NO IFSP – CAMPUS SÃO CARLOS	
Adriana Antunes Lopes	
José Henrique de Andrade	
<b>DOI 10.22533/at.ed.5662005101</b>	
<b>CAPÍTULO 2.....</b>	<b>8</b>
OPORTUNIDADES DA VALORIZAÇÃO DE RESÍDUOS SÓLIDOS DA COLHEITA, PROCESSAMENTO E TORREFAÇÃO DO GRÃO DE CAFÉ NO BRASIL	
Mauro Donizeti Berni	
Paulo Cesar Manduca	
<b>DOI 10.22533/at.ed.5662005102</b>	
<b>CAPÍTULO 3.....</b>	<b>22</b>
ANÁLISE DA VIABILIDADE DO REAPROVEITAMENTO DE RESÍDUOS ADVINDOS DA MINERAÇÃO DE COBRE E OURO PARA FABRICAÇÃO DE BLOCOS DE TERRA COMPACTADA	
Jéssica Azevedo Coelho	
Aline Rodrigues da Silva Lira	
Aryágilla Phaôla Ferreira da Silva	
<b>DOI 10.22533/at.ed.5662005103</b>	
<b>CAPÍTULO 4.....</b>	<b>34</b>
CARACTERIZAÇÃO QUALITATIVA E QUANTITATIVA DOS RESÍDUOS GERADOS EM UM SHOPPING CENTER EM BALNEÁRIO CAMBORIÚ (SC)	
Bruna Emanuele Napoli Simioni	
Rafaela Picolotto	
<b>DOI 10.22533/at.ed.5662005104</b>	
<b>CAPÍTULO 5.....</b>	<b>42</b>
DIMENSIONAMENTO DE BIODIGESTOR ANAERÓBIO PARA PRODUÇÃO DE BIOGÁS A PARTIR DE RESÍDUOS ALIMENTÍCIOS	
Tatiane Akemi Ramalho Yamashita	
Isabel Cristina de Barros Trannin	
Teófilo Miguel de Souza	
<b>DOI 10.22533/at.ed.5662005105</b>	
<b>CAPÍTULO 6.....</b>	<b>56</b>
ESTUDO DO CONFORTO ACÚSTICO EM AMBIENTE ESCOLAR	
Otávio Akira Sakai	
Grasielle Cristina dos Santos Lembi Gorla	
Rodrigo de Oliveira	
Gustavo Silva Veloso de Menezes	
Joyce Ronquim Wedekind	
<b>DOI 10.22533/at.ed.5662005106</b>	

**CAPÍTULO 7..... 66**

ANÁLISE TÉRMICA E ACÚSTICA DE PLACAS DE VEDAÇÃO EM COMPÓSITO CIMENTO-MADEIRA

Bruna de Oliveira Criado

Fernando Sérgio Okimoto

**DOI 10.22533/at.ed.5662005107**

**CAPÍTULO 8..... 80**

COMPARATIVE ANALYSIS OF A TRANSIENT HEAT FLOW AND THERMAL STRESSES BY ANALYTICAL AND NUMERICAL METHODS

Gisele Vilela Almeida

Nailde de Amorim Coelho

Nasser Samir Alkmim

**DOI 10.22533/at.ed.5662005108**

**CAPÍTULO 9..... 93**

PRODUÇÃO DE NANOFIBRAS POLIMÉRICAS ELETROFIADAS PARA MATERIAIS INTELIGENTES

Giovana Miti Aibara Paschoal

Bruno Henrique de Santana Gois

André Antunes da Silva

Pedro Leonardo Silva

Vilson Silva do Nascimento

Jessyka Carolina Bittencourt

Beatriz Marques Carvalho

Roger Clive Hiorns

Clarissa de Almeida Olivati

Deuber Lincon da Silva Agostini

**DOI 10.22533/at.ed.5662005109**

**CAPÍTULO 10..... 102**

PRODUÇÃO E CARACTERIZAÇÃO DE TRANSISTORES DE FILME FINO DE ÓXIDOS METÁLICOS PROCESSADOS POR SOLUÇÃO

João Mendes

João Paulo Braga

Giovani Gozzi

Lucas Fugikawa-Santos

**DOI 10.22533/at.ed.56620051010**

**CAPÍTULO 11..... 120**

SISTEMA DE MEDIÇÃO PARA CALIBRAÇÃO DE INSTRUMENTOS ATÉ 9 MN

Frank Omena de Moura

Carlos Alberto Fabricio Junior

**DOI 10.22533/at.ed.56620051011**

**CAPÍTULO 12..... 124**

ANÁLISE DO COMPORTAMENTO MECÂNICO DE JUNTAS SOLDADAS

## APLICANDO A TÉCNICA DE CORRELAÇÃO DIGITAL DE IMAGENS

Ycaro Jorge Maia da Costa

José Máspoli Ferreira Pereira

Rodrigo Nogueira de Codes

**DOI 10.22533/at.ed.56620051012**

## CAPÍTULO 13..... 137

### CARACTERIZAÇÃO METALOGRÁFICA DE AÇOS MULTIFÁSICOS

Rafael Morel Martins

Bárbara Silva Sales Guimarães

**DOI 10.22533/at.ed.56620051013**

## CAPÍTULO 14..... 148

### APLICAÇÃO DA SINERGIA ENTRE CORANTE SINTÉTICO N719 E NATURAIS DO GÊNERO *OENOCARPUS* EM CÉLULAS SOLARES SENSIBILIZADAS POR CORANTES

Rafael Becker Maciel

Everson do Prado Banczek

Guilherme José Turcatel Alves

Paulo Rogério Pinto Rodrigues

**DOI 10.22533/at.ed.56620051014**

## CAPÍTULO 15..... 154

### PRODUÇÃO DE LIPASES FÚNGICAS DE *Penicillium sumatrense* POR FERMENTAÇÃO EM ESTADO SÓLIDO UTILIZANDO SEMENTE DE BARU (*Dipteryx alata*)

Tayrine Mainko Hoblos Pozzobon

Aline Danielly Awadallak

Pedro Oswaldo Morell

Gustavo de Castilho Baldus

Leonardo Pedranjo Silva

Ruana Barbosa Benitez

Edson Antônio da Silva

Marcia Regina Fagundes-Klen

Francisco de Assis Marques

Maria Luiza Fernandes Rodrigues

**DOI 10.22533/at.ed.56620051015**

## CAPÍTULO 16..... 166

### PRODUÇÃO DE MANGANÊS PEROXIDASE A PARTIR DO *CERIPORIOPSIS SUBVERMISPORA*

Gabriela Mundim Maciel

Sandra de Cássia Dias

**DOI 10.22533/at.ed.56620051016**

## CAPÍTULO 17..... 177

### EXTRATO DE CASCAS DO *Allium sativum L.* COMO ANTIOXIDANTE PARA

**BIODIESEL DE CANOLA**

Débora Yumi Pelegrini  
Nayara Lais Boschen  
Cynthia Beatriz Furstenberger  
Everson do Prado Banczek  
Marilei de Fátima Oliveira  
Paulo Rogério Pinto Rodrigues

**DOI 10.22533/at.ed.56620051017**

**CAPÍTULO 18..... 188****USO DA TERRA DE MUCUGÊ E IBICOARA-BA MEDIANTE AVANÇO DA AGRICULTURA COM SENSORIAMENTO REMOTO**

Luana Nascimento da Silva  
Vanessa Santos da Palma  
Luana da Silva Guedes  
Everton Luiz Polkeing

**DOI 10.22533/at.ed.56620051018**

**CAPÍTULO 19..... 193****DESAFIOS NA IMPLANTAÇÃO DAS BOAS PRÁTICAS DE FABRICAÇÃO (BPFs) EM AGROINDÚSTRIAS FAMILIARES**

Rosângela Oliveira Soares  
Fátima Regina Zan  
Manuel Luís Tibério  
Artur Fernando Arede Correia Cristovão  
Paulino Varela Tavares  
Dieter Rugard Siedenberg

**DOI 10.22533/at.ed.56620051019**

**CAPÍTULO 20..... 205****O RECORTE DA TRAJETÓRIA TECNOLÓGICA AGRIBIOTECNOLÓGICA NO BRASIL E NO MUNDO NOS ÚLTIMOS 30 ANOS**

Djeimella Ferreira de Souza  
Anna Flavia Moreira Martins de Almeida Pereira  
Rubén Dario Sinisterra Millán

**DOI 10.22533/at.ed.56620051020**

**CAPÍTULO 21..... 218****AJUSTE DE EQUAÇÕES VOLUMÉTRICAS A PARTIR DO DIÂMETRO DO TOCO E DAP PARA A ESPÉCIE DE CEDRO AMAZONENSE (*Cedrelinga catenaeformis*)**

Carla Alessandra dos Santos  
Murielli Garcia Caetano  
Pedro Paulo Gomes de Oliveira  
Vinícius Augusto Morais  
Jociane Rosseto de Oliveira Silva  
Ivan Cleiton de Oliveira Silva

**DOI 10.22533/at.ed.56620051021**

**CAPÍTULO 22..... 225****ANÁLISE DAS MANIFESTAÇÕES PATOLÓGICAS NO PROCESSO CONSTRUTIVO EM ALVENARIA ESTRUTURAL DE BLOCO CERÂMICO**

Anderson Pereira Cardoso

Márgua Lima da Cruz

Weverton Gabriel do Nascimento Mendonça

Ana Paula de Santana Bomfim

**DOI 10.22533/at.ed.56620051022****CAPÍTULO 23..... 234****ANÁLISE DE VIABILIDADE ECONÔMICA: EMPRESA BAJA ESPINHAÇO**

Rafaela Ribeiro Reis

Juliani Ramos Belício

Marcelino Serretti Leonel

Antonio Genilton Sant'Anna

**DOI 10.22533/at.ed.56620051023****CAPÍTULO 24..... 248****GUIDEAPP: FERRAMENTA DE AUXÍLIO À MOBILIDADE DE DEFICIENTES VISUAIS**

Brenno Duarte de Lima

Hugo Silva Nascimento

Jacó Alves Graça

Jonathan Costa Matos

Natan Silva Ferreira

Joab Bezerra de Almeida

**DOI 10.22533/at.ed.56620051024****CAPÍTULO 25..... 257****O TRANSPORTE COLETIVO E A OPÇÃO SOB DEMANDA: O ESTUDO DE CASO DE GOIÂNIA**

Mauro Cesar Loyola Branco

Giovani Manso Ávila

**DOI 10.22533/at.ed.56620051025****CAPÍTULO 26..... 269****UMA INVESTIGAÇÃO DA INFLUÊNCIA DE DISPOSITIVOS DA ENGENHARIA DE TRÁFEGO NO SISTEMA VIÁRIO: INTERVENÇÃO NA RUA PADRE AGOSTINHO**

Marcia de Andrade Pereira Bernardinis

Luziane Machado Pavelski

Bruna Marcelli Claudino Buher Kureke

Alana Tamara Gonçalves Molinari

**DOI 10.22533/at.ed.56620051026****CAPÍTULO 27..... 276****A PARTICIPAÇÃO DA MULHER NOS CURSOS DE ENGENHARIA DA UFERSA:**

**UM ESTUDO DE CASO NO CAMPUS MOSSORÓ**

Camila Gabrielly Fernandes de Souza

Maria Aridenise Macena Fontenelle

**DOI 10.22533/at.ed.56620051027**

**CAPÍTULO 28..... 292**

**INVESTIGATION OF THE MILLING EFFICIENCY OF THE X22CrMoV12-1 STEEL  
WITH VC AFTER 80 AND 100 HOURS**

Roberta Alves Gomes Matos

Bruna Horta Bastos Kuffner

Gilbert Silva

**DOI 10.22533/at.ed.56620051028**

**SOBRE OS ORGANIZADORES ..... 298**

**ÍNDICE REMISSIVO..... 299**

# CAPÍTULO 8

## COMPARATIVE ANALYSIS OF A TRANSIENT HEAT FLOW AND THERMAL STRESSES BY ANALYTICAL AND NUMERICAL METHODS

Data de aceite: 01/10/2020

Data de submissão: 28/06/2020

**Gisele Vilela Almeida**

Universidade de Brasília  
Brasília – DF

<http://lattes.cnpq.br/8441319933296961>

**Nailde de Amorim Coelho**

Universidade Federal do Vale do São Francisco  
Juazeiro – BA

<http://lattes.cnpq.br/1159919135214775>

**Nasser Samir Alkmim**

Universidade de Brasília  
Brasília – DF

<http://lattes.cnpq.br/9182834189918100>

programas computacionais como MATLAB, PYTHON e ANSYS, como usado neste trabalho. Os resultados aqui apresentados mostram casos simples de variação térmica transitória e acoplamento termomecânico por dois métodos de análise, visando a validação dos métodos numéricos e softwares utilizados. As soluções foram satisfatórias, as temperaturas e tensões coincidentes para os diferentes métodos, possibilitando começar a estudar problemas mais complexos com confiança no código implementado.

**PALAVRAS-CHAVE:** Problemas Termomecânicos, Método das Diferenças Finitas, Método dos Elementos Finitos, Tensões Térmicas, Temperatura.

### ANÁLISE COMPARATIVA DO FLUXO DE CALOR EM REGIME TRANSIENTE E TENSÕES TÉMICAS POR MÉTODOS ANALÍTICOS E NUMÉRICOS

**ABSTRACT:** The study of heat flow problems is of extreme importance in engineering, there is a need to know the temperatures imposed and generated, when appropriate, in the structural parts to be able to evaluate the stresses that can arise due to the thermal variations. These stresses arise due to imposed constraints, ie bodies can not move freely and consequently undesirable cracks may arise when the stresses are greater than the resistive capacity of the stressed parts. The analysis of these problems can be done in both analytical or numerical way, with the use of calculation methods, such as the Finite Difference Method (FDM) and the Finite Element Method (FEM), with aid of computational

**RESUMO:** O estudo dos problemas de fluxo de calor é de extrema importância na engenharia, havendo necessidade de se conhecer as temperaturas impostas e geradas, quando apropriado, nas partes estruturais para poder avaliar as tensões que podem surgir devido às variações térmicas. Essas tensões surgem devido a restrições impostas, ou seja, os corpos não podem se mover livremente e, consequentemente, podem surgir fissuras indesejáveis quando as tensões são maiores do que a capacidade de resistência das partes tensionadas. A análise desses problemas pode ser feita de forma analítica ou numérica, com a utilização de métodos de cálculo, como o Método das Diferenças Finitas (FDM) e o Método dos Elementos Finitos (FEM), com auxílio de

programs such as MATLAB, PYTHON and ANSYS, as used in this work. The results presented here show simple cases of transient thermal variation and thermomechanical coupling by two methods of analysis, aiming at the validation of the numerical methods and softwares used. The solutions were satisfactory, the temperatures and stresses were coincident for different methods, making possible to start studying more complex problems with confidence in the implemented code.

**KEYWORDS:** Thermomechanical Problems, Finite Difference Method, Finite Element Method, Thermal Stresses, Temperature.

## 1 | INTRODUCTION

Heat flow is a common phenomenon in engineering. The temperature variation may be responsible for problems in structural parts due to the appearance of thermal stresses that may exceed the design resistive capacity and, consequently, give rise to fissures.

The study of heat equations is necessary so that it is possible to analyze the behavior of the involved materials in any project. The imposed conditions, initial and boundary conditions have direct influence on the equation results.

One of the main objectives of heat conduction analysis is to know the temperature distribution, ie, how the temperature varies with the position in the domain. Conductive heat flow at any point in the middle or surface of a body can be determined by the Fourier law, represented by Partial Differential Equations (PDEs) INCOPRERA (1990).

Among the various mechanisms for solving heat transfer problems, there are the Finite Differences Method (FDM), easy to interpret and manipulate, the Finite Element Method (FEM), widely used in engineering, as well as the Analytical Methods, responsible for Mathematical solutions.

The MDF is a numerical procedure that solves PDEs by discretizing a continuous physical domain into a finite discrete mesh, approaching each partial derivative in the EDP by approximations of finite algebraic differences (HOFFMANN, 2001). The finite difference equation must represent the exact solution of the PDE at each point of the discretized region in which the problem solution is to be obtained (CÔRREA, 2011).

The FEM provides a general and systematic technique for the construction of base functions, which are necessary to model solutions of approximate boundary problems using, for example, the Galerkin method. According to (BECKER, 1981), it is possible to construct approximate solutions for differential equations provided with a boundary condition, by dividing the domain of the solution into a finite number of subdomains.

Thermomechanical coupling is an alternative to problem solving using the

methods mentioned. First, results of thermal analyzes are obtained. With the thermal distribution associated with the mechanical boundary conditions found, it is possible to find the stresses arising from the heat flux.

Therefore, this work intends to present analysis of heat flow and thermomechanical stresses for simple problems with the objective of accomplishing a preliminary and necessary step for studying the coupled problem in question. Thus, in this work will be presented comparisons between the Finite Element and the Finite Differences Methods for numerical solutions of the General Two-dimensional Heat Conduction Equation in Transient Regime and the coupled case of a plate submitted to a thermal variation.

## 2 | THEORETICAL FUNDAMENTS

Analytical solutions to thermal problems, depending on the geometry and imposed initial and boundary conditions can be very complex or even impossible to determine. Numerical methods allow an easier and faster solution to these problems with the aid of computational tools. Therefore, in this work, the analytical methods, the FDM and the FEM were used, as will be presented in the sequence.

### 2.1 General heat conduction equation

Heat conduction can be quantified in terms of differential equations. The mathematical model that describes the general heat conduction equation in rectangular coordinates, defined by (ÇENGEL e. all, 2006) is given by:

$$k \left( \frac{\partial^2 T}{\partial x^2} + \frac{\partial^2 T}{\partial y^2} + \frac{\partial^2 T}{\partial z^2} \right) + \dot{q} = \rho c \frac{\partial T}{\partial t} \quad (1)$$

In which  $\dot{q}$  is the heat generation in respect to time ( $\text{W/m}^3$ ),  $k$  is the termal conductivity ( $\text{W/m}^\circ\text{C}$ ),  $c$  is the specific heat ( $\text{J/g}^\circ\text{C}$ ),  $\rho$  is specific mass ( $\text{Kg/m}^3$ ),  $\frac{\partial T}{\partial t}$  is the temperature variation in time, and  $\left( \frac{\partial^2 T}{\partial x^2} + \frac{\partial^2 T}{\partial y^2} + \frac{\partial^2 T}{\partial z^2} \right) = \nabla^2 T$  represents the termal gradient.

### 2.2 General heat conduction equation by finite differences method (FDM)

The FDM allows the temperature calculation at any point in the domain (Figure 1) from its boundary conditions.

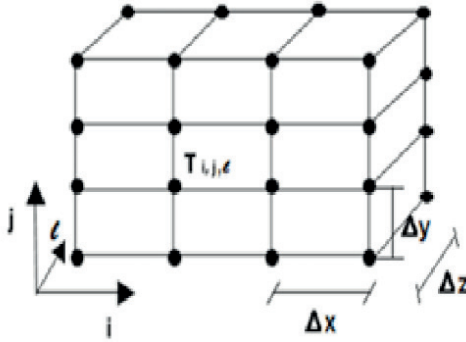


Figure 1: Finite Differences Mesh Example.(COELHO,2016).

The method consists in the substitution of differential equations by algebraic equations, making derivative transformations into finite differences. Based on studies carried out by (COELHO,2016) the substitutions of First Order Differential Equations and Second Order Differential Equations are shown in table (1) by their respective Finite Differences forms:

1 <sup>a</sup> Order of Derivatives:		2 <sup>a</sup> Order of Derivatives	
$\frac{\partial T}{\partial x}$	$\frac{T_{i+1} - T_{i-1}}{x_{i+1} - x_{i-1}} = \frac{T_{i+1} - T_{i-1}}{2\Delta x}$	$\frac{\partial^2 T}{\partial x^2}$	$\frac{T_{i+1,j,l} - 2T_{i,j,l} + T_{i-1,j,l}}{(x_{i+1} - x_{i-1})^2} = \frac{T_{i+1,j,l} - 2T_{i,j,l} + T_{i-1,j,l}}{\Delta x^2}$
$\frac{\partial T}{\partial y}$	$\frac{T_{j+1} - T_{j-1}}{y_{j+1} - y_{j-1}} = \frac{T_{j+1} - T_{j-1}}{2\Delta y}$	$\frac{\partial^2 T}{\partial y^2}$	$\frac{T_{i,j+1,l} - 2T_{i,j,l} + T_{i,j-1,l}}{(y_{j+1} - y_{j-1})^2} = \frac{T_{i,j+1,l} - 2T_{i,j,l} + T_{i,j-1,l}}{\Delta y^2}$
$\frac{\partial T}{\partial z}$	$\frac{T_{l+1} - T_{l-1}}{z_{l+1} - z_{l-1}} = \frac{T_{l+1} - T_{l-1}}{2\Delta z}$	$\frac{\partial^2 T}{\partial z^2}$	$\frac{T_{i,j,l+1} - 2T_{i,j,l} + T_{i,j,l-1}}{(z_{l+1} - z_{l-1})^2} = \frac{T_{i,j,l+1} - 2T_{i,j,l} + T_{i,j,l-1}}{\Delta z^2}$

Table 1: First and Second order derivatives expressions approximated through the FDM.

In the transient case there will be at least one time derivative. According to [5], the term  $\frac{\partial T}{\partial t}$ , with time increments ( $k$ ), is defined as:

$$\frac{\partial T}{\partial t} = \frac{T_i^{k+1} - T_i^k}{\Delta t} \quad (2)$$

By replacing the ODEs with the corresponding differences in Eq. (1), we define the general heat conduction equation in three-dimensional finite differences:

$$\begin{aligned} & \frac{T_{i+1,j,l}^k - 2T_i^k + T_{i-1,j,l}^k}{\Delta x^2} + \frac{T_{i,j+1,l}^k - 2T_i^k + T_{i,j-1,l}^k}{\Delta y^2} \\ & + \frac{T_{i,j,l+1}^k - 2T_i^k + T_{i,j,l-1}^k}{\Delta z^2} + \frac{q^k}{k} = \frac{1}{D} \frac{T_i^{k+1} - T_i^k}{\Delta t} \end{aligned} \quad (3)$$

Beign  $D = \frac{k}{\rho c}$ , known as termal diffusivity.

Considering  $\Delta x^2 = \Delta y^2 = \Delta z^2$ , and simplifying Eq. (3), arise the Eq. (4):

$$T_i^{k+1} = F(T_{i+1,j,l}^k + T_{i-1,j,l}^k + T_{i,j+1,l}^k + T_{i,j-1,l}^k + T_{i,j,l+1}^k + T_{i,j,l-1}^k) + (1 - 6F)T_i^k + G \quad (4)$$

In which,

$$F = \frac{\Delta t \cdot D}{\Delta x^2} \quad (5)$$

$$G = \frac{q^k \cdot \Delta x^2 \cdot \Delta t}{\rho c} \quad (6)$$

The expression in FDM allows the calculation of temperature at any point in the domain. The virtual points outside the domain are determined by the boundary conditions. The application of the FDM expression to all points of the domain leads to a system of n equations with n unknowns, of type  $Ax = B$ , which is solved by the classical mathematical methods in MatLab (COELHO,2016).

### 2.3 General heat conduction equation by finite elements method (FEM)

According to (COELHO, 2012), the temperature distribution  $T(x, y, z, t)$  inside the solid body is defined as:

$$I = \frac{1}{2} \iiint_V \left[ K \left( \left( \frac{\partial T}{\partial x} \right)^2 + \left( \frac{\partial T}{\partial y} \right)^2 + \left( \frac{\partial T}{\partial z} \right)^2 \right) - 2 \left( \dot{q} - \rho c \frac{\partial T}{\partial t} \right) T \right] dV \quad (7)$$

Using Galerkin's Method as solution to Eq. (7), the following steps were adopted, [19]:

1. Divide the domain V into E finite elements with p nodes;
2. Assume the appropriate variational form of T in finite elements with elements, expressed by:

$$T^{(e)}(x, y, z, t) = [N(x, y, z)] \vec{T}^{(e)} \quad (8)$$

where:

$$[N(x, y, z)] = [N_1(x, y, z) \quad N_2(x, y, z) \quad \dots \quad N_p(x, y, z)] \quad (9)$$

$$\vec{T}^{(e)} = \begin{bmatrix} T_1(t) \\ \vdots \\ T_2(t) \end{bmatrix} \quad (10)$$

3. The integral of the weighted residue on the element domain is set equal to zero, having the same weights as the interpolation functions  $N_i$ . If the solution of the previous equation is not exact, it is replaced by the differential equation, which instead of zero will have a different value called the residual. Thus, the criterion to be satisfied at each instant of time is:

$$\mathbf{I} = \iiint_{V^e} \left[ \mathbf{N}_i \left( \mathbf{k} \left( \frac{\partial}{\partial x} \left( \frac{\partial T^{(e)}}{\partial x} \right) + \frac{\partial}{\partial y} \left( \frac{\partial T^{(e)}}{\partial y} \right) + \frac{\partial}{\partial z} \left( \frac{\partial T^{(e)}}{\partial z} \right) \right) \right) + \dot{q} - \rho c \frac{\partial T^{(e)}}{\partial t} \right] dV \quad (11)$$

Rewriting the first term of the integral:

$$\iiint_{V^e} \mathbf{N}_i \mathbf{k} \frac{\partial}{\partial x} \left( \frac{\partial T^{(e)}}{\partial x} \right) dV = - \iiint_{V^e} \mathbf{k} \frac{\partial \mathbf{N}_i}{\partial x} \left( \frac{\partial T^{(e)}}{\partial x} \right) dV + \iiint_{V^e} \mathbf{N}_i \mathbf{k} \left( \frac{\partial T^{(e)}}{\partial x} \right) I_x dS \quad (12)$$

Being  $I_x$  the cosine in x-direction. For the complete equation:

$$- \iiint_{V^e} \mathbf{k} \left[ \frac{\partial \mathbf{N}_i}{\partial x} \left( \frac{\partial T^{(e)}}{\partial x} \right) + \frac{\partial \mathbf{N}_i}{\partial y} \left( \frac{\partial T^{(e)}}{\partial y} \right) + \frac{\partial \mathbf{N}_i}{\partial z} \left( \frac{\partial T^{(e)}}{\partial z} \right) \right] dV + \iiint_{V^e} \mathbf{N}_i \mathbf{k} \left[ \left( \frac{\partial T^{(e)}}{\partial x} \right) I_x + \left( \frac{\partial T^{(e)}}{\partial y} \right) I_y + \left( \frac{\partial T^{(e)}}{\partial z} \right) I_z \right] dS + \iiint_{V^e} \mathbf{N}_i \mathbf{k} \left( \dot{q} - \rho c \frac{\partial T^{(e)}}{\partial t} \right) dV \quad (13)$$

The boundary of element  $(e)$  is composed of  $S_1^{(e)}$ ,  $S_2^{(e)}$  and  $S_3^{(e)}$ . The surface integral equals to zero due to  $T_0$  in  $S_1^{(e)}$ , the derivatives of  $T^{(e)}$  in respect to x, y and z are zero too. In  $S_2^{(e)}$  and  $S_3^{(e)}$ , the boundary conditions satisfies the problem, thus having as surface integral in  $S_2^{(e)}$  and  $S_3^{(e)}$ :

$$\begin{aligned} & \iint_{S_2^{(e)} + S_3^{(e)}} \mathbf{N}_i \mathbf{k} \left[ \left( \frac{\partial T^{(e)}}{\partial x} \right) I_x + \left( \frac{\partial T^{(e)}}{\partial y} \right) I_y + \left( \frac{\partial T^{(e)}}{\partial z} \right) I_z \right] dS \\ &= \iint_{S_2^{(e)}} \mathbf{N}_i \mathbf{q} dS_2 - \iint_{S_2^{(e)}} \mathbf{h} (T^{(e)} - T_\infty) dS_3 \end{aligned} \quad (14)$$

The matricial form of the equation is:

$$[\mathbf{K}_1^{(e)}] \vec{T}^{(e)} + [\mathbf{K}_2^{(e)}] \vec{T}^{(e)} + [\mathbf{K}_3^{(e)}] \vec{T}^{(e)} - \vec{P}^{(e)} = \vec{0} \quad (15)$$

In which:

$$\mathbf{K}_{1ij}^{(e)} = - \iiint_{V^e} \mathbf{k} \left[ \frac{\partial \mathbf{N}_i}{\partial x} \left( \frac{\partial TN_j}{\partial x} \right) + \frac{\partial \mathbf{N}_i}{\partial y} \left( \frac{\partial TN_j}{\partial y} \right) + \frac{\partial \mathbf{N}_i}{\partial z} \left( \frac{\partial TN_j}{\partial z} \right) \right] dV \quad (16)$$

$$\mathbf{K}_{2ij}^{(e)} = \iint_{S_3^{(e)}} \mathbf{h} \mathbf{N}_i \mathbf{N}_j dS_3 \quad (17)$$

$$\mathbf{K}_{3ij}^{(e)} = \iint_{V^{(e)}} \rho c \mathbf{N}_i \mathbf{N}_j dV \quad (18)$$

$$\vec{P}^{(e)}_l = \iint_{V^{(e)}} \dot{q} \mathbf{N}_l dV - \iint_{S_2^{(e)}} \mathbf{N}_l \mathbf{q} dS_2 - \iint_{S_2^{(e)}} \mathbf{h} (T_\infty) dS_3 \quad (19)$$

4. The matrix elements can be written in the usual form:

$$[\underline{\mathbf{K}}_3] \vec{T}^{(e)} + [\mathbf{K}^{(e)}] \vec{T}^{(e)} = \vec{P} \quad (20)$$

$$[\underline{\mathbf{K}}_3] = \sum_{e=1}^E [\mathbf{K}_3^{(e)}] \quad (21)$$

$$[\underline{K}] = \sum_{e=1}^E [K_1^{(e)} + K_2^{(e)}] \quad (22)$$

$$\underline{\underline{P}} = \sum_{e=1}^E [\underline{\underline{P}}^{(e)}] \quad (23)$$

The equations must be solved by incorporating the boundary conditions and the initial conditions. The expressions  $[K1(e)]$ ,  $[K2(e)]$  e  $[K3(e)]$  and  $\underline{\underline{P}}(e)$  are written as matrixes with notation:

$$K_1^{(e)} = \iiint_{V^e} [\mathbf{B}]^T [\mathbf{D}] [\mathbf{B}] dV \quad (24)$$

$$K_2^{(e)} = \iiint_{S_3^{(e)}} \mathbf{h}[N]^T [N] dS_3 \quad (25)$$

$$K_3^{(e)} = \iiint_{V^e} \rho c [N]^T [N] dV \quad (26)$$

$$\underline{\underline{P}}^{(e)} = \underline{\underline{P}}_1^{(e)} - \underline{\underline{P}}_2^{(e)} + \underline{\underline{P}}_3^{(e)} \quad (27)$$

Where:

$$\underline{\underline{P}}_1^{(e)} = \iiint_{V^e} \dot{q}[N]^T dV \quad (28)$$

$$\underline{\underline{P}}_2^{(e)} = \iint_{S_3^{(e)}} \mathbf{q}[N]^T dS_2 \quad (29)$$

$$\underline{\underline{P}}_3^{(e)} = \iint_{S_3^{(e)}} \mathbf{h} T_\infty [N]^T dS_3 \quad (30)$$

$$\underline{\underline{P}}^{(e)} = \underline{\underline{P}}_1^{(e)} - \underline{\underline{P}}_2^{(e)} + \underline{\underline{P}}_3^{(e)} \quad (27)$$

$$[\mathbf{D}] = \begin{bmatrix} k_x & 0 & 0 \\ 0 & k_y & 0 \\ 0 & 0 & k_z \end{bmatrix} \quad (31)$$

$$[\mathbf{B}] = \begin{bmatrix} \frac{\partial N_1}{\partial x} & \frac{\partial N_2}{\partial x} & \dots & \frac{\partial N_p}{\partial x} \\ \frac{\partial N_1}{\partial y} & \frac{\partial N_2}{\partial y} & \dots & \frac{\partial N_p}{\partial y} \\ \frac{\partial N_1}{\partial z} & \frac{\partial N_2}{\partial z} & \dots & \frac{\partial N_p}{\partial z} \end{bmatrix} \quad (32)$$

### 3 | RESULTS

The presented results were developed by FDM and FEM in the first problem, with implementation in MATLAB and PHYTON, respectively, showing the transient heat flux for a situation with heat generation. In the second problem, results are displayed for a thermomechanical coupling using the analytical solution compared to

the FEM using the ANSYS WORKBENCH software.

### 3.1 Complete 2D heat equation with internal heat generation

The proposed case consists of a concrete plate of unit dimensions, with internal heat generation. The points analyzed were P1, P2 and P3, which are located in the center line of the x-axis, 0.25 m from the upper surface, at the plate central point and 0.25 from the lower surface of the y-axis, respectively. The adopted heat generation is represented by  $q' = q_0 \cdot m \cdot e^{(-mt)}$ , where  $q_0 = 200 \text{ J/m}^3\text{s}$ .

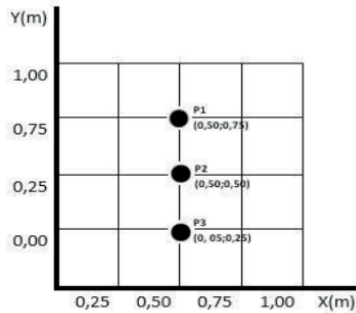


Figure 2: Plate and points analyzed by equation.

The considered thermal and mechanical properties are in Tab. (2):

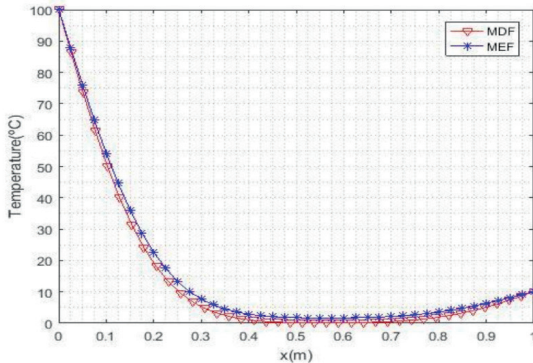
Property	SI	Valor
Thermal Conductivity	k	1,79 (W/m.°C)
Specific Heat	c	1000(J/g.°C)
Specific Mass	ρ	2388(Kg/m³)
Thermal Expansion Coefficient	α	16,67.10⁻⁶ (/ °C)
Elasticity Module	E	210000MPa
Conductive Heat Transfer Coefficient	h	13,95 W/mK

Table 2: Thermal and mechanical properties.

#### 3.1.1 Analysis of results

The comparison between results was performed by comparing the temperature evolution curves obtained by the numerical solutions of the FDM and FEM at the stipulated time of 17280 s, as a function of the positions shown in graphic (1,2). The first graph, graphic (02), considered the position variation only around the x-axis by adopting the central position of the plate (0.50 m) at y. In the abscissa axis the

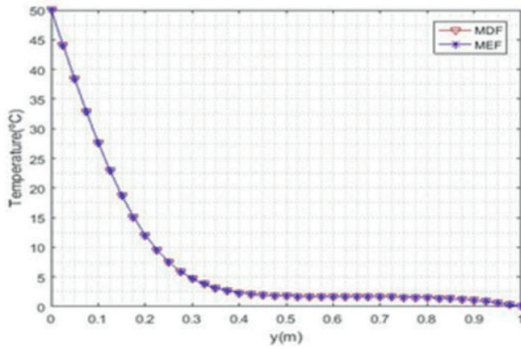
position variations in  $x$  (m) were considered and in the ordinates the temperature variation ( $^{\circ}\text{C}$ ).



Graphic 1: Temperature along the  $x$ -axis for full 2D equation.

Analyzing graphic. (1) it can be seen that in the position  $x = 0.00$  m the temperature corresponds to  $100$   $^{\circ}\text{C}$ , and for position  $x = 1.00$  m to  $10$   $^{\circ}\text{C}$ , which are the initial boundary conditions. In other positions, the results overlap, showing that the results obtained are reliable. The graphic. (2) considered the position variation only around the  $y$ -axis and adopted the central position (0.50 m) for  $x$ .

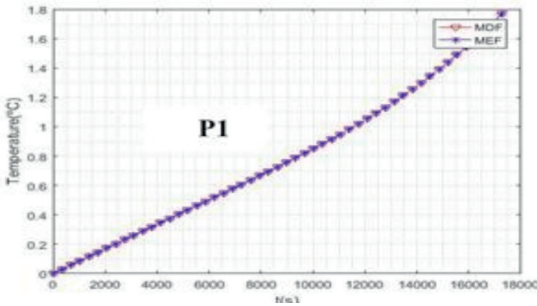
In the abscissa axis are the position variations in  $y$  (m) and in the ordinates the temperature variation ( $^{\circ}\text{C}$ ).



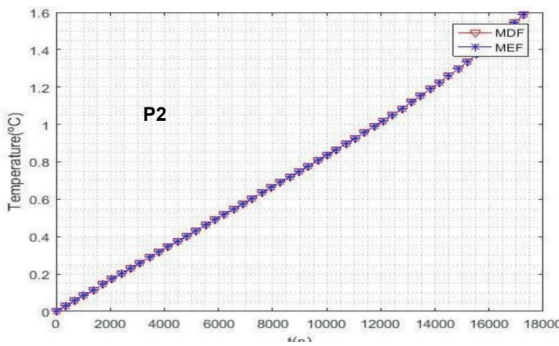
Graphic 2: Temperature along the  $y$ -axis for the complete 2D equation.

As in the graphic (2) and graphic. (3), the temperatures dependent on the boundary conditions remained the same, at  $50$   $^{\circ}\text{C}$  and  $0$   $^{\circ}\text{C}$ , and the other points presented overlapping results.

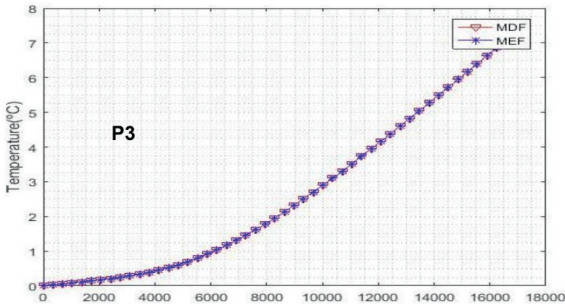
Afterward, the temperature evolution was analyzed as a function of time by the two numerical methods at three points on the plate (P1, P2, and P3). The point P1 is located at the coordinates  $x = 0.50\text{m}$  and  $y = 0.25\text{m}$ . P2 at coordinates  $x = 0.50\text{m}$  and  $y = 0.50\text{m}$  and point P3 at coordinates  $x = 0.50\text{m}$  and  $y = 0.75\text{m}$ . The comparisons can be seen in Graphics. (3a), (3b) and (3c).



Graphic 3a: Transient temperature analysis of the Point (P1).



Graphic 3b: Transient temperature analysis of the Point (P2).



Graphic 3c: Transient temperature analysis of the Point (P3).

In all the Graphics (3), it can be observed that the results obtained by FDM and FEM are coincident, showing a good treatment of data and that both are efficient in the solution of heat problems.

### 3.2 Thermomechanical coupling in a rectangular plate

In this section, numerical-analytical results will be compared for the case of rectangular plate with fixed boundary conditions subject to a non-uniform heat variation  $\Delta T$ , according to Fig. (3), as proposed by (SZILARD,2004).

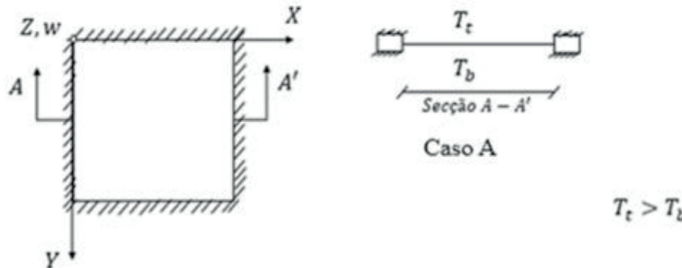


Figure 3: Comparison of the mechanical results for the bi-anchored beam.

Considering the edges of the plate free to slide, but with restriction to rotation, case A, the moment in the plate is given by Eq. (33).

$$M = -\frac{D\alpha(\Delta T)}{h} (1 + \nu) \quad (33)$$

Being  $M$  the moment due to the temperature gradient ( $\Delta T$ );  $D = \frac{Eh^3}{12(1-\nu^2)}$  is the flexural stiffness and  $\nu$  is the Poisson's coefficient.

The correspondent maximum stress  $\sigma_{max,b}$  is given by:

$$\sigma_{max,b} = \pm \frac{6M}{h^2} \quad (34)$$

Was modeled in ANSYS Workbench a solid body of dimensions (x, y, z) = (0.5, 0.5, 0.1), as in Fig. (07), with temperatures  $T = 0$  °C at  $z = 0.0$  m and  $T = 100$  °C at  $z = 0.1$  m. The results for the temperatures can be visualized in Fig. (04), presenting a uniform thermal distribution.

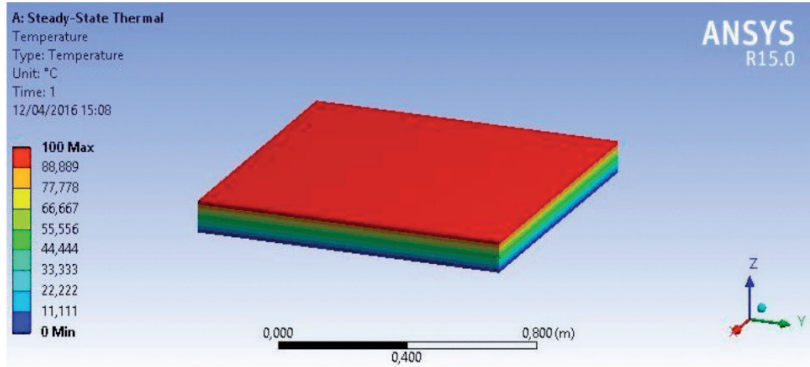


Figure 04: Mechanical results for the bi-anchored beam.

If there is only the displacement restriction at z, the maximum and minimum stresses found at the central points of the body are  $\pm 9,4303E7$  Pa. Using Eqs. (33) and (34), the maximum stresses are  $\pm 8,57E7$  Pa, differing only in 9.0 % from the software result. The graph of Fig. (05) presents the stress distribution in the abscissa axis (Pa), by the thickness in the ordinates axis (m). The ‘calculated stress’ curve represents the maximum tensions found analytically, ‘Stress X’ represents the stresses found by the program along the width and ‘Stress Z’ the stresses in the thickness direction, being free to rotate, the stresses in that axis are zero. However, the maximum stresses by both methods are very close.

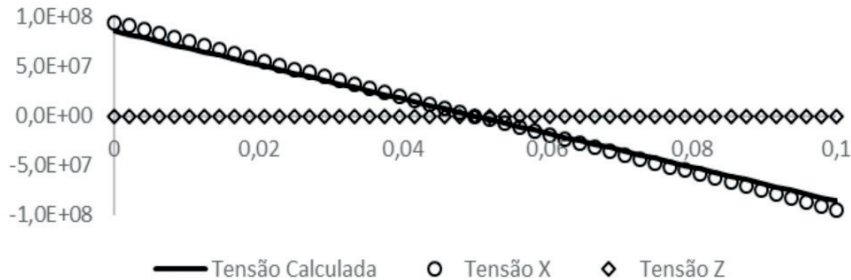


Figure 05: Thermal stresses result comparison for different cases.

With this analysis, it can be affirmed that the analytical method and the MEF, applied through the ANSYS, can be used in the resolution of thermomechanical problems in engineering, and can later apply this methodology to more complex situations. Other similar analyzes can be observed in (COELHO et. all, 2016).

## 4 | CONCLUSIONS

With the presented results, it is possible to affirm that the thermal and thermomechanical analyzes can be done by means of different methods, like the analytical method, FDM and FEM. The comparisons between the simulations performed with the exposed alternatives were coincident, showing a good treatment of the data and a correct manipulation of the computational tools. It is also noted that the initial conditions and boundary properly applied are essential in order to reach the expected results. Although the cases presented are simple, they are essential if advances are to be achieved, as they are part of a needed preliminary study phase of validation that aims to arrive at solutions, with confidence in numerical simulations, of more complex problems.

## REFERENCES

- Becker, E., 1981. Finite elements. Englewood Cliffs, N.J: Prentice-Hall.
- Çengel, Y. A. 2006. Heat and Mass Transfer: A Practical Approach, 3<sup>a</sup> Ed., McGrawHill, Singapore.
- Coelho, N. A.. Métodos Analíticos e Numéricos para o Estudo dos Efeitos Termomecânicos no Concreto Massa Orientados às Barragens de Gravidade. Tese de Doutorado. Universidade de Brasília – UnB. Brasília: 2016.
- Coelho, N. A.. Um Estudo Numérico do Efeito Térmico em Concreto Massa. Dissertação de Mestrado. Universidade de Brasília – UnB. Brasília: 2012.
- Coelho, N. A.; Silva, D. A.; Pedroso, L. J.; Efeito térmico provocado pelo calor de hidratação em barragem de gravidade construída em camadas. In: XXXVII Iberian Latin American Congress on Computational Methods in Engineering. Brasília: 2016b.
- Corrêa, L.; Lima, G. A. B.; Ferreira, V. G. Solução Numérica de Equações Diferenciais Parciais via o Método das Diferenças Finitas. II Colóquio de Matemática do Centro Oeste. 2011.
- Hoffman, J. D., 2001. Numerical methods for engineers and scientists, Marcel Dekker, Inc.
- Incropera, F.P.; Dewitt, D.P. Fundamentos de Transferência de Calor e de Massa, 3a Edição, LTC S. A., R. J. 1990.
- SZILARD, R.. Theory and Analysis of Plates: Classical and Numerical Methods. John Wiley & Sons. New Jersey: 2004.

## ÍNDICE REMISSIVO

### A

- Absorção de água 22, 27, 29, 31, 32  
Acessibilidade 193, 248, 249, 253, 254, 255, 256  
Aço inoxidável AISI 304 124  
Agroindústrias familiares 193, 197, 199, 201  
Agronegócio 203, 205, 206, 207, 208, 210, 211, 212, 215, 216, 217  
AHSS 137, 138, 139, 144, 146  
Alimentos 19, 42, 53, 156, 165, 168, 193, 194, 195, 197, 198, 200, 201, 202, 203, 204, 206, 208  
Alvenaria estrutural 225, 226, 227, 228, 229, 231, 232, 233  
Amazônia 218, 219, 224  
Análise de deformação 124  
Aplicativo 252, 253, 257, 262, 263, 264, 268  
Ataques químicos 137, 142, 143, 144, 146

### B

- Bacaba 148, 149  
Baja 234, 235, 236, 237, 238, 239, 240, 242, 245, 246, 247  
Barragem 23, 92, 188, 189, 190, 191, 192  
Biocombustível 177, 178  
Bioenergia 10, 11, 149, 168  
Biomassa 10, 11, 15, 16, 19, 21, 42, 45, 69  
Biotecnologia 19, 186, 205, 206, 207, 209, 210, 211, 215, 216  
Bloco ecológico 22, 26

### C

- Café 8, 9, 10, 11, 12, 13, 14, 16, 17, 18, 19, 20, 21, 46, 278  
Calibração 120, 122, 123  
Caracterização 2, 24, 27, 28, 29, 34, 36, 37, 38, 78, 102, 104, 113, 115, 116, 123, 135, 137, 142, 143, 145, 146, 152, 153, 174, 185, 189, 227, 272, 298  
Células solares 94, 96, 148, 149, 150, 151, 152, 153  
Coleta seletiva 1, 2, 3, 4, 5, 6, 50, 54  
Comportamento mecânico 124, 125, 126, 140  
Conforto 26, 56, 59, 64, 77, 78, 257, 259, 264, 269, 274

Correlação digital de imagens 12, 124, 126, 127, 128, 132, 135  
CSSC 148, 150, 151, 152, 153

## D

Deficiência visual 248, 249, 250, 252, 254, 255  
Diâmetro da cepa 218, 224

## E

Eletrofiação 93, 94, 97, 98, 100  
Energia renovável 10, 42  
Engenharia 20, 21, 25, 41, 42, 44, 46, 54, 55, 80, 94, 95, 125, 146, 156, 175, 192, 224, 225, 232, 234, 235, 238, 240, 245, 246, 254, 269, 270, 271, 275, 276, 277, 278, 279, 280, 282, 283, 284, 285, 286, 287, 288, 289, 290, 291, 298  
Ensino superior 234, 235, 248, 249, 252, 254, 276, 281, 283  
Enzimas ligninolíticas 166, 167, 168, 173  
Estabilidade oxidativa 177, 181  
Estacionamento 269, 270, 271, 272, 273, 274  
Extrato natural 177

## F

Fiscalização 218, 219, 223, 224, 225, 232  
Fluxo de caixa 234, 236, 237, 243, 244, 246  
Fonte de energia 8, 10, 11, 44, 149  
Força 23, 98, 120, 121, 122, 123, 132, 278, 285, 286  
Fungos 19, 156, 166, 167, 168, 169, 173, 180

## G

Gestão 3, 23, 33, 34, 35, 40, 41, 42, 53, 192, 202, 203, 204, 208, 217, 227, 236, 243, 279, 298  
Gestão de resíduos 41, 42

## I

Irrigação 188, 189, 190, 192

## L

Laboratórios de informática 56, 59, 60, 61, 62, 63  
Largura de faixa 269  
Lipases 154, 155, 156, 157, 158, 159, 160, 164

## M

- Madeira 16, 22, 66, 67, 68, 69, 70, 78, 79, 166, 167, 175, 224  
Manifestações patológicas 225, 227, 228, 232  
Método das diferenças finitas 80, 92  
Método dos elementos finitos 80  
Microestrutura 124, 126, 137, 138, 139, 140, 141, 142, 144, 145, 146  
Mineração 22, 23, 24, 25, 32, 33  
Miniônibus 257, 262, 263, 264  
Mitigação ambiental 8  
Mobilidade 102, 108, 110, 116, 117, 235, 248, 249, 253, 254, 257, 262, 264, 265, 267, 268, 270, 271, 274, 275  
Mulheres 276, 277, 279, 280, 281, 282, 283, 284, 285, 286, 287, 288, 289, 290, 291

## O

- Óleo de baru 155, 165  
Óxidos metálicos 102, 103, 104, 113, 117

## P

- Paratransit 257  
Patauá 148  
Patentes 205, 206, 207, 209, 210, 211, 212, 213, 214, 215  
Placas cimentícias 66  
Planejamento experimental 155, 158, 159, 160, 166, 169, 170, 171, 172  
Plano de negócio 235, 236, 242, 243, 245, 247  
Processamento 8, 9, 10, 13, 14, 20, 21, 25, 67, 68, 93, 97, 98, 102, 103, 104, 111, 117, 126, 127, 130, 140, 156, 195, 197, 206, 240, 292  
Produção de Taninos 8

## R

- Rastreabilidade 120, 123  
Resíduo 14, 16, 17, 22, 23, 24, 25, 27, 28, 29, 30, 31, 32, 35, 36, 37, 38, 40, 47, 151, 152, 157, 177, 179, 180, 181, 183, 184, 185  
Resistência à compressão 22, 27, 29, 31  
Ruído 56, 57, 58, 59, 64, 65

## S

- Salas de aula 3, 56, 59, 60, 61, 62, 63, 288

Saneamento 41, 42, 54, 55, 278  
Segurança alimentar 193, 197, 202, 203, 205, 209, 215  
Semicondutores 95, 102, 104, 150  
Sensores 94, 95, 98, 103  
Shopping Center 34, 35, 36, 41  
Sistema de medição 120, 121, 122, 123  
Smart materials 93, 94, 96, 100  
Soldagem MIG 124  
Sustentabilidade 1, 2, 9, 11, 42, 66, 153, 216, 237, 265, 267, 271

## T

Tecnologias 10, 16, 18, 64, 66, 205, 211, 214, 215, 216, 248, 255, 264, 278, 279  
Temperatura 13, 18, 25, 52, 67, 69, 70, 71, 74, 75, 77, 80, 94, 95, 97, 102, 111, 112, 114, 115, 117, 128, 140, 141, 158, 159, 166, 168, 173, 174, 177, 178, 180, 220, 228, 232, 240  
Tensões térmicas 80, 128  
Termomecânicos 80, 92  
Transistores 102, 104, 105, 108, 111, 116, 117  
Transporte coletivo sob demanda 257, 258, 259, 262, 264, 266  
Tratamento de efluente 166

## V

Vegetação 188, 189, 190, 221  
Veículos off-road 235, 236, 237, 238  
Velocidade 69, 130, 166, 173, 240, 269, 270, 273, 274  
Viabilidade econômica 234, 236, 245, 246

# **Resultados das Pesquisas e Inovações na Área das Engenharias 2**

www.atenaeditora.com.br   
contato@atenaeditora.com.br   
@atenaeditora   
www.facebook.com/atenaeditora.com.br 

# **Resultados das Pesquisas e Inovações na Área das Engenharias 2**

www.atenaeditora.com.br   
contato@atenaeditora.com.br   
@atenaeditora   
www.facebook.com/atenaeditora.com.br 